

### III-5 砂における破壊規準と塑性ボテンシャルの実験的検討

都立大学工学部 正会員 小林慶夫  
都立大学工学部 正会員 湯浅欽史

まえがき 砂のような摩擦性塑性体の破壊規準としてはモール・クーロンの破壊規準があり、これと力のつり合いを用いて砂構造物の応力境界問題を解くことはできる。その際、このモール・クーロンの破壊規準が塑性ボテンシャルであるとして変形性状の検討がなされる。しかし、この仮定は砂のせん断変形時における過大な体積膨張を要求することになり、実験結果との差が大きすぎるため用い得ないとされている。<sup>1), 2)</sup> ここでは、実際にこの差がどの位のもので、どのような特徴をもつかを検討した。とり上げた実験値は、いろいろな詰め方により作られた密詰めよりゆる詰めまでの砂供試体についての側圧( $2 \text{ kN/cm}^2$ )一定の三軸圧縮試験の結果である。また、等方的な力学特性をもつ砂供試体の三軸圧縮、三軸伸張、平面ひずみ試験の結果も示した。

モール・クーロンの破壊規準と流れ則 三次元モール・クーロンの破壊規準は、粘着力がゼロであるとするとき

$$[(\sigma_1 - \sigma_3) - (\sigma_1 + \sigma_3) \tan \phi] / [(\sigma_2 - \sigma_3) - (\sigma_2 + \sigma_3) \tan \phi] = 0$$

と書ける。これを縦軸に  $\sigma_1$ 、横軸に  $\sqrt{\sigma_2} = \sqrt{2}\sigma_3$  をもついわゆるレンドリックの応力面に表示すると図-1 の二本の斜線(実線)になる。上方が三軸圧縮状態に対応し、下方が三軸伸張状態に対応する。この破壊規準が塑性ボテンシャルであるとすると、各方向のひずみ増分量  $d\varepsilon_i$  ( $i=1 \sim 3$ ) は、

$$d\varepsilon_i = \lambda \frac{\partial f}{\partial \sigma_i} \quad (i=1, 2, 3)$$

から得られるはずである。この点を実験的にたしかめてみた。

実験の方法 用い下砂試料、供試体の詰め方、力学試験の方法を表-1 に示した。ここに掲げたすべての実験において変形が一様になるよう工夫した。供試体の圧縮方向に対するその垂直方向のひずみは、供試体を出入りする水の体積より算出した。実験番号1~3 の供試体は、力学的に等方なるよう作製した。<sup>3)</sup>

実験番号4~10 の供試体の作製法は参考文献4)に示したものである。表-1 の中で、“供試体の方向”というのには、砂を落とすことにより作製した供試体の落下方向を圧縮方向とした場合を“タテ”，その方向に垂直な方向を“ヨコ”とした。

砂の変形特性 得られた実験の結果を以下の図に示した。

図-2 実験番号1.と10の場合についての軸ひずみ  $\varepsilon_1$  と半径方向ひずみ  $\varepsilon_3$  の関係を示した。＊印のところが最大の強度を示す点である。極端なる詰めの場合9., 10を除けば、この点の前後で比較的よい線型性を示す。1と3の方向のひずみ増分を

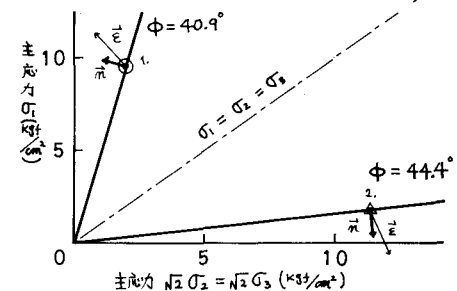


図-1 モール・クーロン破壊規準のレンドリック面表示、

実験番号	記号	砂の種類	粒径	比重	詰め方	初期 排水条件	試験法	供試体寸法 の方向
1.	○	普通砂	0.2	0.65	標準法	0.62	三軸圧縮	(高) 中 $5 \times 11 \text{ cm}$
2.	▲	・	・	・	・	・	三軸伸張	(中)
3.	■	・	・	・	・	・	平面ひずみ	(中) $2 \times 6 \text{ cm} \times 8 \text{ cm}$
4.	◆	・	・	・	空中落下	0.62	三軸圧縮	タテ $\Phi 5 \times 11 \text{ cm}$
5.	◆	・	・	・	・	・	ヨコ	・
6.	▲	・	・	・	空気角 0.77	・	タテ	・
7.	▲	・	・	・	・	・	ヨコ1	・
8.	▲	・	・	・	・	・	ヨコ2	・
9.	◆	・	・	・	水中落下 0.90	・	タテ	・
10.	◆	・	・	・	・	・	ヨコ	・
11.	△	ガラス砂	0.47	標準法	0.55	・	タテ	・
12.	□	・	・	・	水中落下 0.63	・	タテ	・

表-1 実験方法

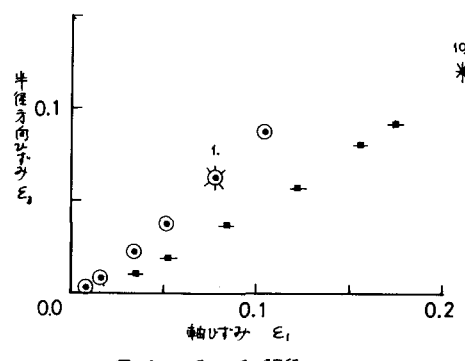


図-2  $\varepsilon_1$  ~  $\varepsilon_3$  関係、

$\delta\varepsilon_1, \delta\varepsilon_3$  とすると、この勾配は  $\delta\varepsilon_3/\delta\varepsilon_1$  (弾性領域におけるポアソン比に相当する) と書ける。これは塑性変形の広い範囲において一定であるとみなせる。図-3は供試体の初期間隙比  $e_0$  と  $\delta\varepsilon_3/\delta\varepsilon_1$  の関係を示したものである。強度換算係数をもつ砂でも、そのひずみ増分特性 ( $\delta\varepsilon_3/\delta\varepsilon_1$ ) という面についてほとんど差がないようである。図-4には、せん断抵抗角中 =  $(\phi_1 - \phi_3)/(\phi_1 + \phi_3)$  と  $\delta\varepsilon_3/\delta\varepsilon_1$  の関係を示す。図中に、三軸圧縮試験の場合のフォンミセス、トレスカなどにモール・ワーロンの破壊規準を塑性ポテンシャルとしてととの関係を示した。

ここで図-1に於いて、実験番号1.と2.の場合について主応力方向に対する実験より得られたひずみ増分の方向を細い矢印で示した。次に、このひずみ増分の方向に直交するようなモール・ワーロンの破壊規準に相当するせん断抵抗角をダイレイタニーシー角  $\gamma$  として、<sup>2)</sup> 中と  $\gamma$  の関係を図-5に示した。図中、45%の勾配をもつ直線上に実験値が乗れば、モール・ワーロンの破壊規準を塑性ポテンシャルとして採用できることになる。結果は図に示す如く大きく異なっている。しかし、その勾配は、豊浦砂の場合をかうす玉の場合と45°に近いことが認められる。

さうに、等方的な力学特性をもつ砂供試体についての三軸圧縮、三軸伸張、平面ひずみ試験より得られた中と  $\gamma$  の関係を表-2に示した。三種の試験より得られた結果は、ダイレイタニーシー角  $\gamma$  がせん断抵抗角中にくらべて著しく小さくなる値になっている。しかし、それらの値は比較的近いことが認められる。

まとめ 砂についてのモール・ワーロンの破壊規準をどの程度塑性ポテンシャルとすることはできないか、その間に一覧の関係が存在するようである。最大主応力方向と他の主応力方向へのひずみ増分の比が、最大の強度を示す点を含む広い範囲で一定値をもつことと合わせて、これひずみの変形問題において今後検討すべき課題の一つであろう。

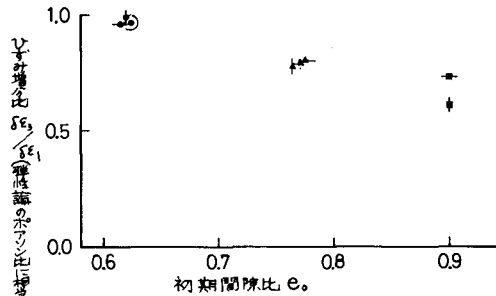


図-3 初期間隙比とひずみ増分比の関係。

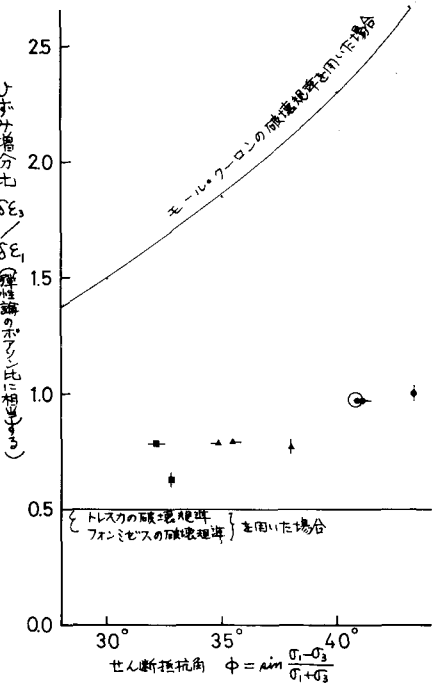


図-4 せん断抵抗角とひずみ増分比の関係。

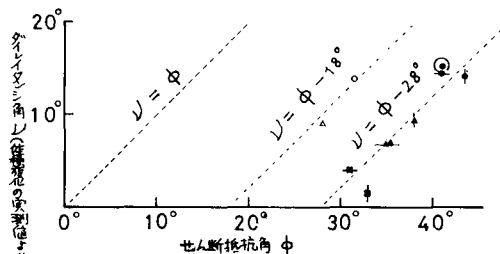


図-5 せん断抵抗角とダイレイタニーシー角の関係。

## 参考文献

- 1) 最近武雄編著「土質力学」第1章「土の塑性力学」(山口柏樹)
- 2) J. Salençon (1974): *Theorie de la Plasticite Pour les Applications a la Mecanique des Solos*. Editions Eyrolles, Paris.
- 3) 小林(1980)“等方的な力学的性質をもつ砂試料の一作製法”第15回地盤工学研究発表会
- 4) 小林(1981)“落下堆積砂への異方性”第16回土質工学研究発表会

実験番号	試験法	せん断抵抗角 $\phi$	ダイレイタニーシー角 $\gamma$
1.	三軸圧縮	40.9°	15°
2.	三軸伸張	44.4°	14°
3.	平面ひずみ	44.4°	10°

表-2 等方性供試体について得られた中と  $\gamma$  の関係。